

L'Âge de la «série calcaire» dans la région de Karaman, Taurus occidental, Turquie : étude des foraminifères du Trias supérieur, paléoenvironnement de dépôt

Autor(en): **Tuzcu, Nezh / Wernli, Roland / Zaninetti, Louissette**

Objekttyp: **Article**

Zeitschrift: **Archives des sciences et compte rendu des séances de la Société**

Band (Jahr): **35 (1982)**

Heft 2

PDF erstellt am: **22.07.2024**

Persistenter Link: <https://doi.org/10.5169/seals-740554>

Nutzungsbedingungen

Die ETH-Bibliothek ist Anbieterin der digitalisierten Zeitschriften. Sie besitzt keine Urheberrechte an den Inhalten der Zeitschriften. Die Rechte liegen in der Regel bei den Herausgebern. Die auf der Plattform e-periodica veröffentlichten Dokumente stehen für nicht-kommerzielle Zwecke in Lehre und Forschung sowie für die private Nutzung frei zur Verfügung. Einzelne Dateien oder Ausdrucke aus diesem Angebot können zusammen mit diesen Nutzungsbedingungen und den korrekten Herkunftsbezeichnungen weitergegeben werden. Das Veröffentlichen von Bildern in Print- und Online-Publikationen ist nur mit vorheriger Genehmigung der Rechteinhaber erlaubt. Die systematische Speicherung von Teilen des elektronischen Angebots auf anderen Servern bedarf ebenfalls des schriftlichen Einverständnisses der Rechteinhaber.

Haftungsausschluss

Alle Angaben erfolgen ohne Gewähr für Vollständigkeit oder Richtigkeit. Es wird keine Haftung übernommen für Schäden durch die Verwendung von Informationen aus diesem Online-Angebot oder durch das Fehlen von Informationen. Dies gilt auch für Inhalte Dritter, die über dieses Angebot zugänglich sind.

L'AGE DE LA « SÉRIE CALCAIRE » DANS LA RÉGION
DE KARAMAN, TAURUS OCCIDENTAL, TURQUIE.
ÉTUDE DES FORAMINIFÈRES DU TRIAS SUPÉRIEUR,
PALÉOENVIRONNEMENT DE DÉPÔT

PAR

Nezih TUZCU¹, Roland WERNLI² et Louise ZANINETTI²

La région étudiée est située 45 km au SW de la sous-préfecture de Karaman (Konya), au S du bassin néogène de l'Anatolie, où elle constitue une partie de la zone bordière du Taurus occidental (TUZCU, 1972, et fig. 1).

Deux séries sédimentaires forment le bâti géologique de cette région: une *série siliceuse*, basale et une *série calcaire*, charriée, qui se superpose à la précédente.

La série siliceuse correspond à la formation schisto-radiolaritique (Schiefer-Hornstein Formation) de BLUMENTHAL (1956). Elle est constituée de sédiments silico-argileux alternant avec des niveaux pyroclastiques d'épaisseur variable (fig. 1). Des roches magmatiques, telles que serpentinites et diverses inclusions basiques, gabbros, diabases, ainsi que des sills de kératophyres sont en relation avec cette série.

La série calcaire est considérée comme une série compréhensive par certains auteurs qui ont contribué à l'étude géologique de la Turquie. Il s'agit d'une série massive d'âge mésozoïque [Trias supérieur à Crétacé (?)], séparée de l'unité inférieure ou série siliceuse par un contact tectonique post-sénonien. En effet le calcaire mésozoïque repose sur la série siliceuse qui est plus jeune, celle-ci étant limitée à son sommet par un calcaire rouge transgressif, d'âge sénonien établi sur la base d'une étude des Globotruncanidae (voir TUZCU, 1972, p. 18). Le plan de charriage de la série calcaire passe au sommet de ce calcaire transgressif (fig. 1).

L'étude micropaléontologique présentée se limite à la série calcaire, plus précisément, à la base de celle-ci (échantillon P 1 *in* TUZCU, 1972, et fig. 1) qui contient une association de Foraminifères (pl. 1 et 2) d'âge triasique supérieur (Norien-Rhétien).

¹ Université d'Egée, Faculté des Sciences de la Terre, BORNOVA, Izmir, Turquie.

² Département de Géologie et Paléontologie, Université de Genève, 13, rue des Maraîchers. CH-1211 GENÈVE 4.

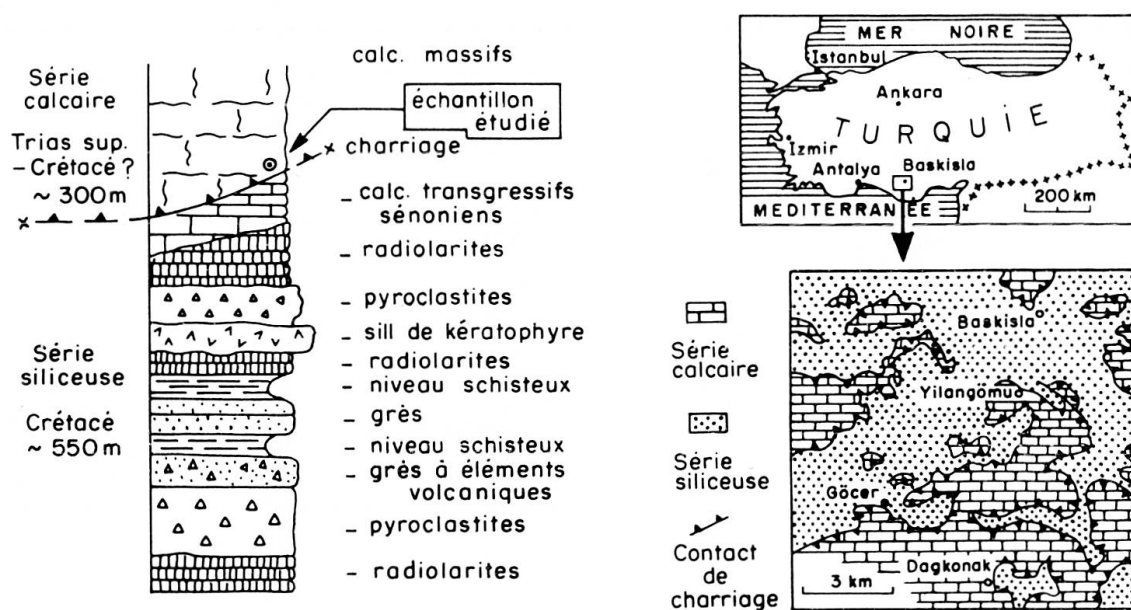


FIG. 1. — Log synth tique de la r gion de Baskisla et carte g ologique simplifi e d'apr s TUZCU (1972).

LA S RIE CALCAIRE

Les hauts sommets, tels que le Dedebag Tepe, l'Hisar Tepe, l'Iskef Tepe, le Kurban Dag, etc., sont constitu s par des roches de cette s rie; en outre quelques  lots calcaires surmontant la s rie siliceuse en font aussi partie.

La s rie calcaire se distingue morphologiquement de la s rie siliceuse par son aspect clair, massif et roailleux, tandis que cette derni re forme des reliefs plus adoucis montrant souvent des surfaces multicolores.

Le calcaire blanc de la s rie  tudi e est peu ou non stratifi . L' tude microscopique montre qu'il s'agit d'un calcaire d'origine r cifale, que l'on peut situer, sur la base des Foraminif res,   la limite des facies « biolithite » et « grapestone », tels qu'ils sont d finis par SADATI (1981, p. 213, 214 et fig. 8) dans le Calcaire de Dachstein de la Hohe Wand, Basse-Autriche.

Bien que dans un  tat de recristallisation souvent avanc , la base de la s rie calcaire contient une microfaune de Foraminif res assez bien conserv s pour permettre leur identification. Une association caract ristique du Trias sup rieur (Norien-Rh tien) m sog en (pl. 1 et 2) a  t  observ e, qui s'av re non seulement d'un grand int r t pour la d termination de l' ge de la s rie calcaire, mais aussi et surtout pour la compr hension de la structure g ologique de toute la r gion.

Le calcaire massif de la s rie  tudi e figure sur la l gende de la carte g ologique de la Turquie au 1/100000 n  126 r vis e par NICHOFF (1960); ce calcaire y est dat  du Cr tac  s.l. BLUMENTHAL pourtant, dans un travail consacr    la g ologie de la

chaîne bordière du Taurus paru en 1956, avait déjà observé dans cette unité des Foraminifères (Textulariidae, Valvulinidae, Trochamminidae, Involutinidae, non déterminés spécifiquement), qui ne permettent pas une datation précise, mais sur la base desquels l'auteur attribue à la série calcaire un âge jurassique moyen à crétacé. BLUMENTHAL mentionne aussi que la série calcaire chevauche la série siliceuse, les deux séries étant séparées par une mince bande de calcaire transgressif: les couches rouges de BLUMENTHAL.

Or l'échantillon TUZCU P 1, prélevé à la base de la série calcaire, au contact immédiat avec le calcaire sénonien, montre par son contenu micropaléontologique (pl. 1 et 2) que l'âge du calcaire massif surmontant la série siliceuse peut être plus ancien [Trias supérieur à Crétacé (?)] que les auteurs ne l'avaient supposé jusqu'ici.

MICROFAUNE DE LA BASE DE LA SÉRIE CALCAIRE

Il s'agit des Foraminifères contenus dans l'échantillon TUZCU P 1, prélevé à la base de la falaise à l'entrée du village de Dagkonak par la route venant de Catak. L'association, partiellement illustrée en pl. 1 et 2, comprend:

- des Involutinidae de grande taille (diamètre souvent supérieur à 2 mm), avec:
 - Aulotortus sinuosus sinuosus* WEYNSCHENK, 1956 (pl. 1, fig. 1, 4, 5)
 - Aulotortus sinuosus pragsoides* (OBERHAUSER, 1964) (pl. 1, fig. 2)
 - Aulotortus gaschei* (KOEHN-ZANINETTI et BRÖNNIMANN, 1968) (pl. 1, fig. 3)
- des Nubeculariidae (Ophthalmidiinae), avec:
 - Ophthalmidium* « *carinatum* » (LEISCHNER, 1961) (pl. 1, fig. 7, 8 ?)
 - Ophthalmidium* sp. (pl. 1, fig. 6)
 - Paraophthalmidium* ? sp. (pl. 1, fig. 9)
- des Miliolidae (Quinqueloculininae), avec:
 - Quinqueloculina* sp. (pl. 1, fig. 10, 11)
 des Fischerinidae, avec:
 - Planiinvoluta carinata* LEISCHNER, 1961 (pl. 2, fig. 6)
- des Milioliporidae, avec:
 - Miliolipora cuvillieri* BRÖNNIMANN et ZANINETTI (in BRÖNNIMANN, ZANINETTI, BOZORGNIA, DASHTI et MOSHTAGHIAN, 1971) (pl. 1, fig. 12 ?, 14-16)
- des Endothyridae, avec:
 - Endothyra* sp. 1 (pl. 2, fig. 4)
 - Endothyra* sp. 2 (pl. 2, fig. 5)
 - Endothyra* ? sp. 3 (pl. 2, fig. 10)
 - Endothyranella* ? sp. (pl. 2, fig. 9)

- des Lituolidae (?), gen. et sp. indet. (pl. 2. fig. 1, 2 ?, 3) et formes fixées indéterminées et non illustrées
- des Ammodiscidae, avec *Glomospira* sp. (non illustrée)
- des Duostominidae, très abondants, à double paroi, attribuables à *Duostomina* et peut-être à *Variostoma* (pl. 2, fig. 7, 8, 11-16)
- des Nodosariidae, rares, non illustrés
- des Foraminifères indéterminés (pl. 1, fig. 13).

Il est intéressant de comparer cette liste de Foraminifères avec les associations que donne SADATI (1981, fig. 8) pour caractériser les trois faciès récifaux reconnus par cet auteur dans le Calcaire de Dachstein (Trias supérieur) de la Hohe Wand (Autriche): le faciès « biolithite », le faciès « grapestone » et le « mud facies ».

Notre figure 2 montre à ce propos une bonne corrélation entre la composition microfaunique du Trias supérieur du Taurus occidental et celle de la Hohe Wand,

ASSOCIATION TOTALE DE FORAMINIFÈRES DU CALCAIRE DE DACHSTEIN DE LA HOHE WAND (SADATI, 1981, FIG.8)	FORAMINIFÈRES À LA LIMITE DES FACIÈS "BIOLITHITE" ET "GRAPESTONE" (DOMAINE D, SADATI, 1981)	FORAMINIFÈRES DE LA "SÉRIE CALCAIRE" DU TAURUS ORIENTAL
ALPINOPHRAGMIUM	—	—
AGGLUTINÉS SESSILES	×	×
PORCELANÉS SESSILES	—	×
NODOSARIIDAE	⊗	⊗
AULOTORTUS	●	●
OPHTHALMIDIUM	●	●
"SIGMOILINA"	◐	•
QUINQUELOCULINA	⊗	⊗
GALEANELLA	⊗	•
MILIOLIPORA	⊗	⊗
GLOMOSPIRA	×	×
TROCHAMMINA	×	?
"TETRATAXIS"	×	•
ENDOTHYRA	⊗	⊗
DUOSTOMINIDAE	●	●
EARLANDIA	—	—
REOPHAX	●	?
"LITUOSEPTA"	×	•
SPIRIAMPHORELLA	×	•

— ABSENT (IN SADATI)	×	◐ ASSEZ RICHE
• NON OBSERVÉ	⊗ PRÉSENT	● RICHE
? DOUTEUX		

FIG. 2. — Tableau comparatif des associations de Foraminifères à la limite des faciès « biolithite » et « grapestone » (domaine D de SADATI, 1981, fig. 8) dans le Calcaire de Dachstein de la Hohe Wand, Autriche (SADATI, 1981), et dans le Trias supérieur de la « série calcaire » du Taurus occidental.

et situe plus précisément l'association de Turquie à la limite des facies « biolithite » et « grapestone » (domaine D de SADATI, 1981, fig. 8). Ces facies particuliers de l'environnement récifal se caractérisent en effet à leur limite par l'abondance des Duostominidae, d'*Aulotortus* à paroi massive et de *Quinqueloculina*, et par l'apparition de *Miliolipora* qui elle devient typique du facies « grapestone ».

Quelques différences avec ces mêmes facies observés en Autriche sont toutefois à relever, notamment l'absence dans l'association du Taurus de *Galeanella* KRISTAN, de *Spiriamphorella* BORZA et SAMUEL et de « *Lituosepta* » CATI, trois genres selon SADATI caractéristiques du facies « biolithite », et qui seraient encore présents mais plus rares dans les sous-environnements du récif où se développe le facies « grapestone ». On peut penser que ces Foraminifères, raréfiés à la limite des deux facies, ont échappé à notre observation dans un échantillonnage trop limité ou, surtout pour *Spiriamphorella* et « *Lituosepta* », en raison d'un éloignement peut-être important du récif proprement dit où s'élabore le facies « biolithite ». Il est plus difficile en revanche d'expliquer l'absence de « *Tetrataxis* » et de *Reophax* dans le Taurus, qui pourtant fréquentent abondamment les facies « biolithite-grapestone » dans le Calcaire de Dachstein de la Hohe Wand.

Notons encore que les facies « biolithite » isolément, et le « mud facies » ont été essentiellement éliminés de notre analyse sur la base de critères sédimentologiques, mais aussi sur la présence de *Miliolipora* (SADATI, 1981, fig. 8). Cette dernière interprétation se trouve aussi renforcée par l'absence dans notre échantillon du Taurus d'*Alpinophragmium*, que SADATI tient pour typique du facies « biolithite », et par l'absence également d'Involutinidae à paroi fine associés à de fréquents Nodosariidae, qui caractérisent eux le « mud facies ».

AGE DE LA SÉRIE CALCAIRE

L'analyse des Foraminifères, avec de grandes « Involutines », des Quinqueloculines et surtout *Miliolipora cuvillieri*, en plus de la microfaune associée qui s'avère typique des facies « biolithite-grapestone » du Calcaire de Dachstein en Autriche orientale (SADATI, 1981), permet d'attribuer un âge triasique supérieur (norien supérieur à rhétien) à l'échantillon P1 prélevé à la base de la série calcaire dans la zone bordière du Taurus occidental.

L'âge de l'ensemble de la falaise calcaire ne peut encore être précisé, en raison d'un appauvrissement des microfaunes observé en remontant la série, et surtout en l'absence de microfossiles index dans la région étudiée. La liste de Foraminifères et organismes associés que donne TUZCU (1972, p. 16) est peu caractéristique d'un quelconque intervalle du Mésozoïque et seule *Pseudocyclamina* sp. suggère en effet qu'il pourrait s'agir de Jurassique.

Au sommet de la série, quelques fragments de Bivalves ont été attribués à des Rudistes du Crétacé par les paléontologues du MTA. Cette attribution toutefois demande à être vérifiée.

En fait, toute l'information paléontologique et micropaléontologique est à notre avis à revoir dans l'ensemble de la série calcaire, si l'on veut préciser l'âge de la partie supérieure de celle-ci et introduire quelques subdivisions dans cet édifice massif, monotone dans sa sédimentation, où la stratification manque, mais où peut-être quelques repères stratigraphiques sont encore à découvrir.

Avec TUZCU (1972, p. 17) nous concluons « qu'il reste bien des points à éclaircir concernant l'histoire géologique de la série calcaire. Il conviendrait à notre avis, d'y consacrer une étude plus approfondie et surtout d'effectuer un échantillonnage plus serré et plus étendu ».

Notre intention dans cette note n'était autre que de fixer l'âge de la base de la série calcaire dans la région de Karaman. Des microfaunes du Trias supérieur ont été présentées, l'étude attend d'être poursuivie.

RÉFÉRENCES CITÉES

- BLUMENTHAL, M. M. (1956). Les chaînes bordières du Taurus du sud-ouest du bassin de Karaman-Konya et problèmes stratigraphiques de la formation schisto-radiolaritique. *Bull. Mineral. Res. Expl. Inst. Turkey*, 48, pp. 1-38, Ankara.
- NICHOFF, W. (1960). Mut. 126 1/100 000 parfa no'lu haritanin jeolojik izahi. M. T.A. Derleme raporu, No 3390, Ankara.
- SADATI, S.-M. (1981). Die Hohe Wand: Ein obertriadisches Lagunen — Riff am Ostende der Nördlichen Kalkalpen (Niederösterreich). *Facies*, 5, pp. 191-264, Erlangen.
- TUZCU, N. (1972). Etude minéralogique et pétrographique de la région de Baskisla dans le Taurus occidental (Karaman, vilâyet de Konya, Turquie). *Mém. Dép. Minéralogie Université de Genève*, n° 1, pp. 1-108, Genève.

PLANCHE 1

Foraminifères de l'échantillon TUZCU P1 de la base de la « série calcaire »;

- 1, 4, 5 *Aulotortus sinuosus sinuosus* WEYNSCHENK, 1956; 4, specimen micritisé;
 2 *Aulotortus sinuosus pragsoides* (OBERHAUSER, 1964);
 3 *Aulotortus gaschei* (KOEHN-ZANINETTI et BRÖNNIMANN, 1968);
 6 *Ophthalmidium* sp. ;
 7, 8 ? *Ophthalmidium* « *carinatum* » (LEISCHNER, 1961);
 9 *Paraophthalmidium* ? sp. ;
 10, 11 *Quinqueloculina* sp. ;
 12 ?, 14-16 *Miliolipora cuvillieri* BRÖNNIMANN et ZANINETTI (in BRÖNNIMANN, ZANINETTI, BOZORGNIA, DASHI et MOSHTAGHIAN, 1971);
 13 Foraminifère gen. et sp. indet.
- 1, 20 × ; 2, 50 × ; 3, 30 × ; 4, 5, 40 × ; 6, 7, 16, 180 × ; 8, 150 × ; 9, 11, 90 × ; 10, 170 × ;
 12, 200 × ; 13, 120 × ; 14, 210 × ; 15, 160 × .

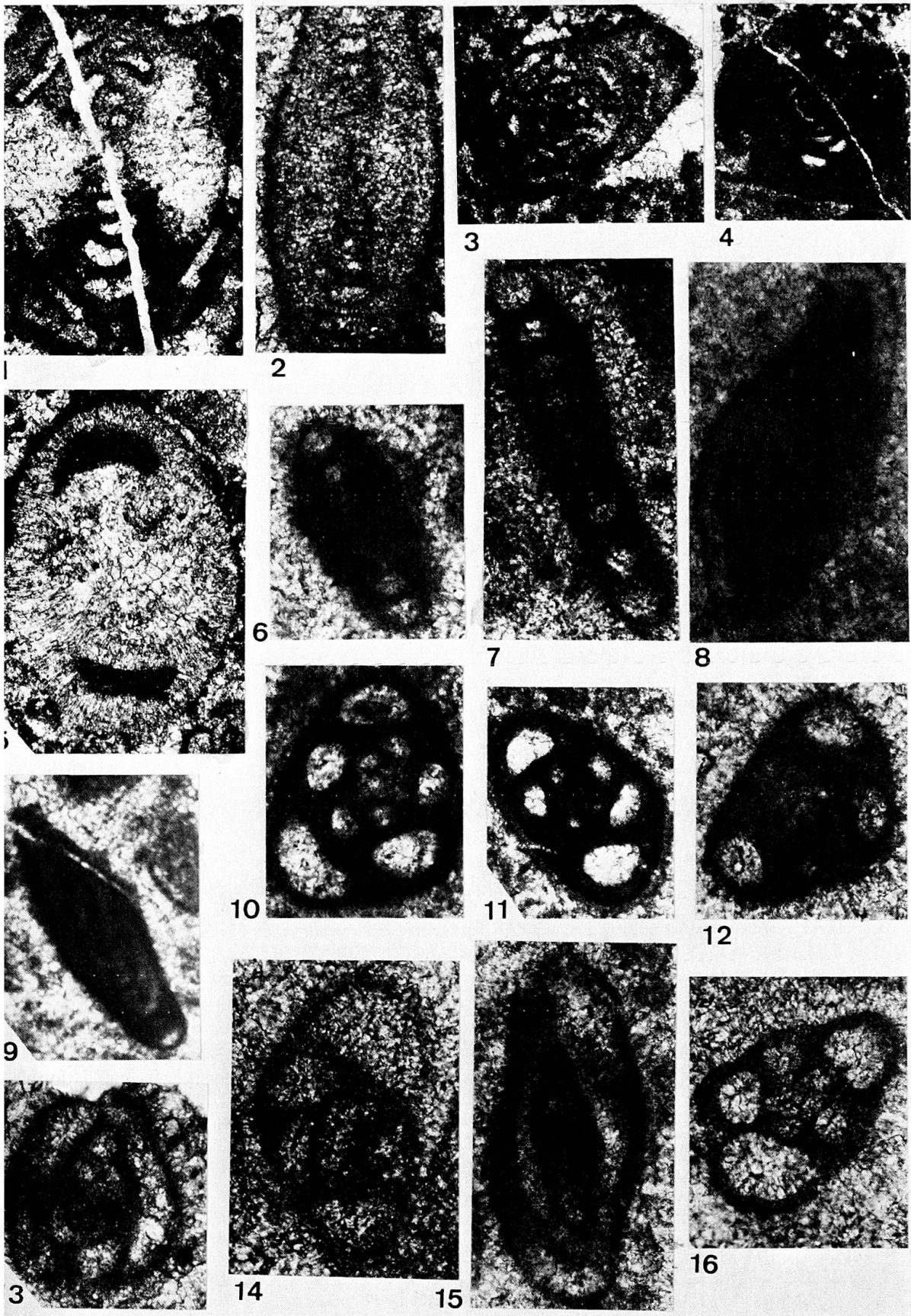


PLANCHE 1

PLANCHE 2

Foraminifères de l'échantillon Tuzcu P1 de la base de la « série calcaire »:

- 1, 2 ?, 3 Lituolidae (?) gen. et sp. indet. (correspond à *Neoendothyra* sp. in SADATI, 1981, pl. 62, fig. 10);
 4 *Endothyra* sp. 1 (correspond probablement à *Endothyra* sp. in SADATI, 1981, pl. 62, fig. 14);
 5 *Endothyra* sp. 2;
 6 *Planiinvoluta carinata* LEISCHNER, 1961;
 7, 8, 11-16 Duostominidae (*Duostomina* et *Variostoma* probablement). On observera la double paroi de ces Foraminifères, particulièrement visible sur la fig. 15 et sur le détail de celle-ci, fig. 16. On notera aussi la ressemblance de certaines sections de *Duostomina* sp. avec *Protopeneroplis striata* WEYNSCHENK, 1950 ou *Protopeneroplis trochangulata* SEPTFONTAINE, 1974, surtout fig. 12 et 13. Faut-il y voir un lien phylogénétique entre ces Foraminifères ?;
 9 *Endothyranella* ? sp. ;
 10 *Endothyra* ? sp. 3;

1-3, 7, 8, 10, 14, 15, 70× ; 4, 9, 110× ; 5, 6, 90× ; 11, 40× ;
 12, 13, 55× ; 16, 240×.

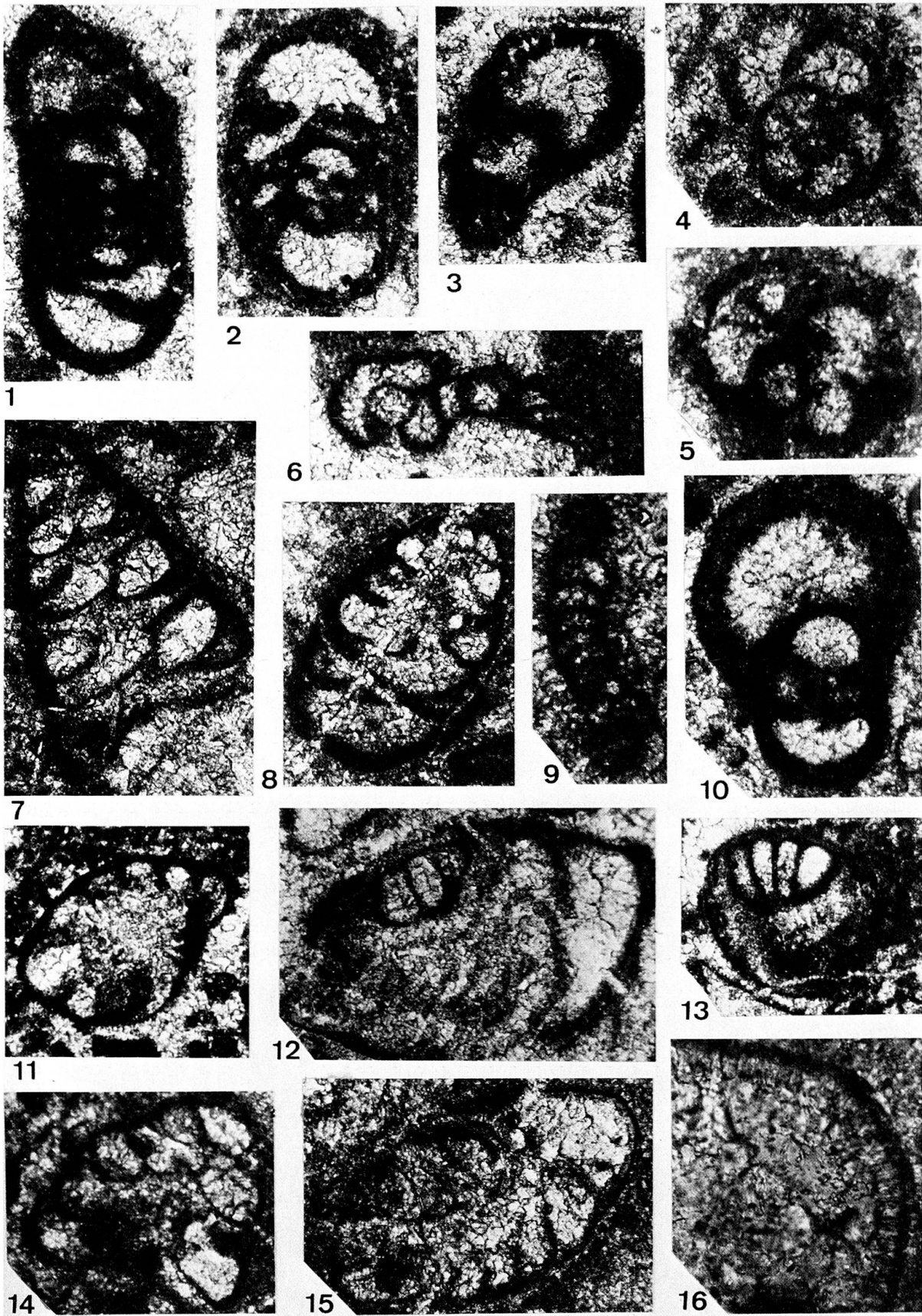


PLANCHE 2

